

NMR-CT の臨床応用（第2報）

—骨疾患への応用—

Clinical Trial of NMR-CT
(Report 2)
—The Utility of NMR-CT for
Bone Disease—

池平博夫 (放射線医学総合研究所臨床研究部)
福田信男 (同上)
館野之男 (同上)
遠藤真広 (同上)
松本 徹 (同上)
飯沼 武 (同上)
季 元浩 (千葉大学医学部整形外科学教室)
永瀬譲史 (同上)
梅田 透 (千葉県立がんセンター病院核医学)
伊藤一郎 (同上)
油井信春 (同上)

キーワード

NMR imaging, T_1 image, inversion recovery image, bone disease.

要旨

The NMR-CT system used in this study is the Mark-J, which is based on four vertical coil air-core magnets operating at about 0.1 Tesla and giving a proton resonance frequency of 4.5 MHz.

The inversion-recovery and calculated T_1 images are used mainly for diagnosis and detection of lesions and determination of lesion area. It has been found effective to use calculated T_1 images to obtain normalized images for comparison with images from other patients as well as with those of follow up studies.

Experimental imaging of musculo-skeletal diseases indicated NMR to be particularly useful for the detection of aseptic necrosis of the femoral head, and other useful for the detection of bone tumor.

NMR-CT can play an important role in the diagnosis of musculo-skeletal disease. It is highly suitable for early detection of aseptic necrosis of the hip joint, as the difference between the T_1 values of diseased and healthy tissue allows earlier detection than is possible with X-ray photographs. It can also be used effectively for determination of the size of bone tumors.

1 はじめに

NMR-CT の臨床診断への有効性の評価は既に多数行われているが、骨疾患への応用はまだほとんど報告されていない¹⁻³⁾。しかし NMR-CT では骨がアーティファクトの原因とならず、しかも骨髓や骨腫瘍などは鮮明に描出されるために病変の進展範囲等を決定するために、あるいはX線 CT における CT 値よりは組織による違いが大きい緩和時間を利用した鑑別診断の可能性も考えられるために、今回 NMR-CT の骨疾患への応用を試みた。その結果、NMR 像が診断上有効であった症例を経験したので、それら症例の NMR 画像を供覧し骨疾患への NMR-CT の有用性評価の第 1 歩としたい。

2 装置および方法

使用した装置は旭 Mark-J であり、主な仕様は常伝導公称 0.1 Tesla、プロトンの共鳴周波数 4.5 MHz で画像再構成法はスピノラップ法による二次的フーリエ変換方式であるその詳細については既に報告している⁴⁾。

症例は千葉大学医学部整形外科学教室および千葉県立がんセンターより紹介された 9 例につい

て NMR-CT 検査を行った。内訳は、大腿骨頭壞死 3 例、骨肉腫 5 例、巨細胞腫 1 例である。

検査は仰臥位にて全身用コイルを使用したが小児で頭部用コイルに足の挿入が可能な者については、頭部用コイルを使用した。

使用したパルス系列は、飽和回復法 (Saturation Recovery, 以後 SR)、反転回復法 (Inversion Recovery, 以後 IR) および T_1 の計算画像でパルス系列の表示は NMR 医学研究会の規定に従い SR 法の場合繰り返し時間 (T_r ミリ秒) を SR(T_r) とし、IR 法では緩和待ち時間 T_d ミリ秒と T_r を用いて IR (T_d , T_r)、 T_1 像では T_1 (T_d , T_r) と記載した⁵⁾。

3 結 果

昭和 54 年 3 月までに骨疾患で我々が扱った 3 種 9 例の疾患の中でそれぞれ 1 例ずつ典型的な症例を以下に示す。

症例 1. 両側大腿骨頭無腐性壞死、53 歳、男性

昭和 58 年夏頃より両側股関節痛にて発症し精査の結果上記診断が確定した症例。図 1a は SR (2000), 図 1b は IR (300, 1000), 図 1c は T_1 (200, 2000), のいずれも両側大腿骨頭を通る平面での直接前額断層像である。病変部は IR 像で

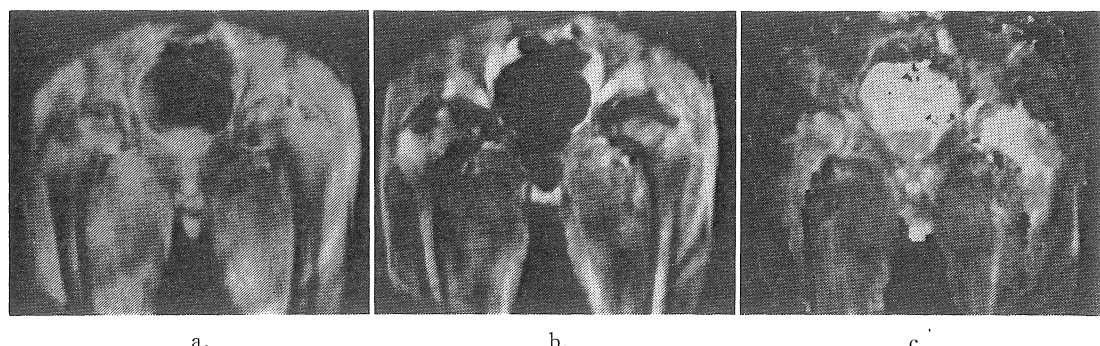


図 1 53 years-old male, bilateral aseptic necrosis of femoral heads.
a. SR (2000), b. IR (300, 1000), c. T_1 (200, 2000)

低信号領域となり T_1 値は、右側が 500-550 ミリ秒、左側が 600-650 ミリ秒と同症例の健常と考えられる大腿骨骨髓の T_1 値 360-380 ミリ秒よりも T_1 値の延長が認められた。病変の範囲は T_1 像にて最も良く判定できた。

症例 2. 巨細胞腫、24 歳、女性

6 年前より右膝関節痛と運動制限を認めて経過した症例。近医にて右大腿骨内顆の骨破壊を伴う骨腫瘍を認め、後に手術後病理診断で巨細胞腫が確立した。図 2 a は SR (2000) で以下の画像はいずれも両大腿骨遠位端を通る平面での横断層像である。健常側では膝蓋骨および膝関節の構造が鮮明に描出されているが、腫瘍側では腫瘍部が高信号領域として描出され、健常部との境界も明瞭であった。図 2 b は IR (300, 500) で病変部は低

信号領域として描出されるが、その範囲は SR 像より広く認められた。図 2 c は T_1 (200, 2000) で、健常側と比較すると病変部は IR, SR, 各像よりさらに明瞭に描出され、それぞれの画像では低信号であった関節腔や血管が強く描出され画像の色調による差はなくなっている。図 2 e は図 2 d のように T_1 像で病変部とその周辺の健常部を含めて関心領域 (ROI) を設定し ROI 内の T_1 値の総素数をヒストグラムとして表示したものである。これによると病変部は約 440 ミリ秒をピークとする T_1 値の分布を示しており、周辺の骨髄の T_1 値約 270 ミリ秒から完全に分離することができた。

症例 3. 骨肉腫、9 歳、男性

右大腿骨遠位部に X 線写真で腫瘍を発見され、

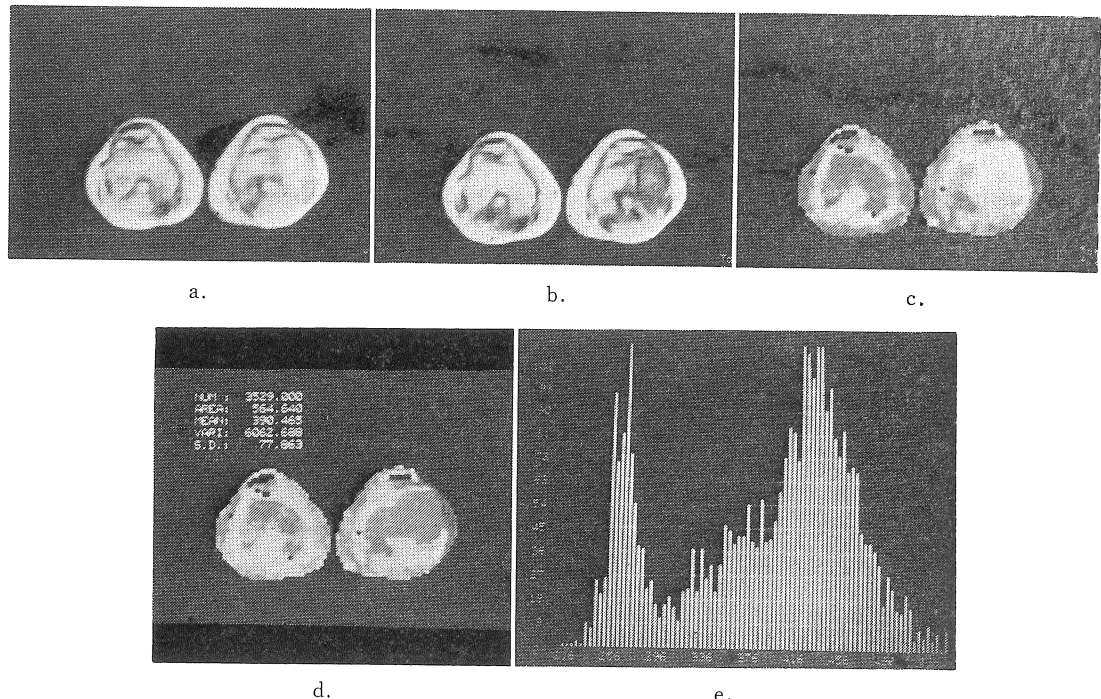


図 2 24 years-old female, giant cell tumor

a. SR (2000), b. IR (300, 500), c. T_1 (200, 2000), d. ROI (region of interest) of lesion and normal tissue, e. The T_1 histogram of ROI

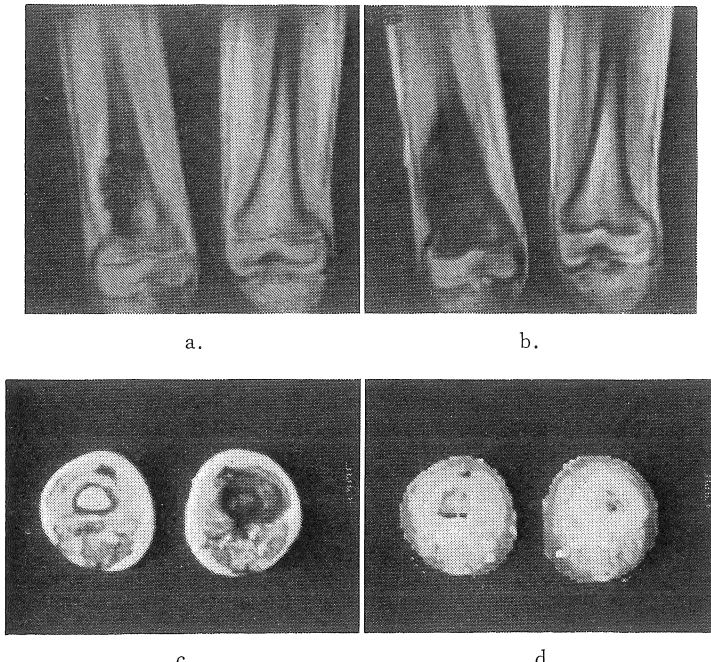


図 3 9 years-old male, osteosarcoma of right femoral bone.
 a. SR (2000), b. IR (600, 2000), c. IR (600, 2000),
 d. T_1 (200, 2000)

上記診断を受けた症例である。本症例は小児であるために頭部用コイルを使用した。図3aはSR (2000)、図3bはIR (600, 2000)でいずれも前額断層像である。図3c, dはそれぞれIR (600, 2000)および T_1 (200, 2000)の病変部の横断像である。いずれも病巣の浸潤領域の判定は可能であるが、空間分解能ではIR (600, 2000)が病巣の質的診断では T_1 像が有効であった。前額断層像にて病変の形態変化が明瞭に描出された。特にSR像では、病変中心部のおそらく壊死による組織欠損部が描出されている。

4 考 察

NMR-CTの臨床診断への最大の有用性は、これまでにも述べられているように、X線 CTに比較してスライス面の選択の自由度が増して、前額

断層像あるいは矢状断層像などの撮影が可能となつたことにある。

特に緻密骨からのNMR信号が弱いためにX線 CTなどで見られるアーティファクトの原因となることなども骨疾患への応用に関しては重要な点である。

本稿で論じる骨疾患は大腿骨頭無腐性壊死、巨細胞腫および骨肉腫であるが、いずれの場合でも病巣領域診断および質的診断に有効であり、1000ガウスという低い磁場においても良好な解像力の画像が得られ、病変部の変化も単純X線より早く捕えられRI検査との比較が今後必要である。

これまでではすべてなんらかの検査により所見のある症例についてのみNMR検査を施行して來たので、早期発見のためにも、症状のみの段階でのNMR応用も考えられる。

無腐性大腿骨頭壊死については、IR像および

SR 像では病変領域が十分確認できないが T_1 像（図 1c）ではその程度と領域がはるかに鮮明であった。本症例は進行症例であるが、他にも核医学検査でのみ異常所見が得られた例で NMR-CT で病変確認が可能であった症例を経験しており、骨頭無腐性壊死などの血流障害によって生じる疾患については NMR-CT による早期発見の可能性が非常に有望である。

巨細胞腫については、わずかに 1 例の経験であるが、NMR 像によって病巣の浸潤領域の判定が可能であり、骨外への非常に強い浸潤は見られなかった。

IR 像、SR 像では形態変化が明瞭にとらえられており、特に SR 像での描出が良好である。SR 像での信号強度は局所のプロトン密度とその緩和時間によって決まるので、巨細胞腫では SR (2000) 像がその検出に優れたパルス系列であると考えられる。ちなみに T_1 像は再現性のある画像が得られ色調は主として T_1 値のみに依存しているために NMR 標準化画像として有効であろうと考えているが、本症例の場合病変部は T_1 値 410-460 ミリ秒であり正常部分 260-280 ミリ秒に比較して著明に延長していることがわかる。この値は骨頭壊死の 500-650 ミリ秒、骨肉腫の 480-540 ミリ秒と比べてやや低い値を示していたが、鑑別診断に利用するためには今後の検討が必要である。また、図 2e に示した T_1 値のヒストグラムは周囲健常組織と病変の質的鑑別およびその浸潤形態すなわち慢性か局在性かの判定の際に目で見た判定より有効である。

骨肉腫は X 線写真でかなり判定が可能であるが、NMR-CT ではさらに骨髄に平行な断層像が鮮明に得られ、立体的病巣の把握が可能であり、SR 像および IR 像とともに形態判定に有効で、われわれの経験では SR 像は腫瘍の内部構造に、IR 像は腫瘍と骨髄あるいは軟部組織への浸潤の観察に有効である。また、骨端軟骨の描出も見られるの

で、骨端軟骨の疾患の診断にも利用できると考えられる。

T_1 像は空間分解能では劣るが再現性があり、病巣の質的診断にとって欠くことのできない画像であり、さらに画質を向上させる努力を行っている。

5 結 語

骨疾患特に腫瘍への NMR-CT の応用は前額断層、矢状断層などをを利用してその浸潤範囲を明瞭に診断することが可能であることがわかった。また大腿骨頭無腐性壊死については少なくとも単純 X 線写真や X 線 CT より早期に変化があらわれ、核医学検査とともに早期診断への応用が望まれる。

T_1 像は、いずれの疾患に対しても各組織の T_1 値に応じた再現性のある画像が得られ疾病的および量的診断に非常に有効であり、特に大腿骨頭無腐性壊死については T_1 像が最も有効であった。

また T_1 ヒストグラムでは病巣の T_1 値の分布を知るだけでなく、周囲組織への病巣の浸潤状態を知るために有用であることがわかった。

文 献

- 1) 梅田 透、油井信春、伊藤一郎他：核医学投稿中。
- 2) 池平博夫、福田信男、館野之男：NMR-CT の四肢その他の応用. Medicina 20: 2780-2782, 1983.
- 3) Ikehira H., Smith, F. W.: Application of T_1 data to diagnosis using the Aberdeen NMR imaging system. NMR 医学 2: 84-93, 1982.
- 4) 福田信男、池平博夫、館野之男：NMR-CT の初期使用経験. 画像診断 3: 1085-1093, 1983.
- 5) 飯沼 武、館野之男、遠藤真広他：プロトン(H)-NMR 映像法における RF パルス系列の定義. 映像情報 Medical 15: 200-203, 1983.